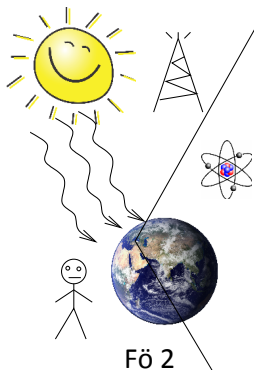


# Fö 4 - TSFS11 Energitekniska system Enfastransformatorn

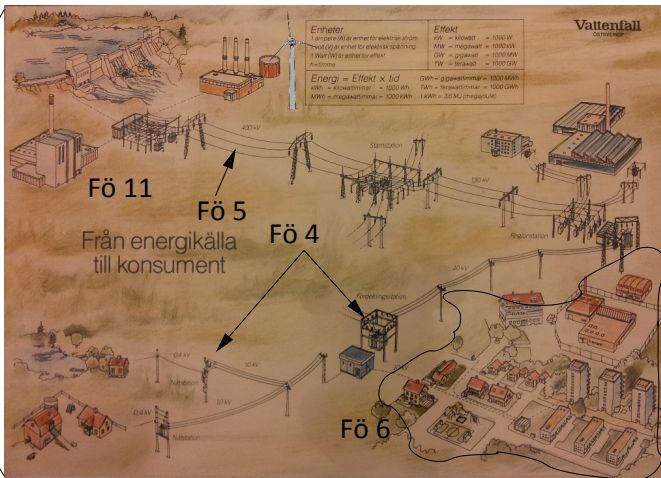
Christofer Sundström

12 april 2021

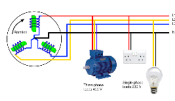
# Kursöversikt



Fö 2



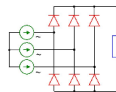
Fö 3



Fö 7,8,10



Fö 9



Fö 12

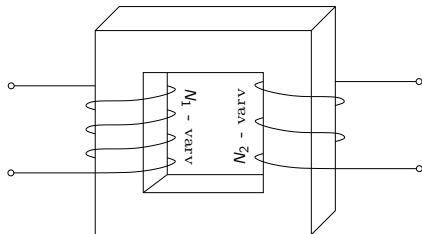


Fö 13

- 1 Transformatorns grunder
- 2 Omsättning
- 3 Ideal transformator, krettschema och övertransformering
- 4 Icke ideal transformator
  - Tomgångsprov
  - Kortslutningsprov
- 5 Beräkningsexempel

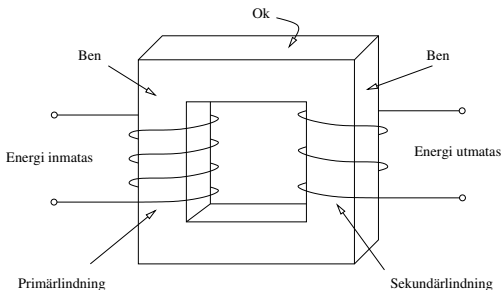
# Transformatorns grunder

- En elektromagnetisk maskin utan rörliga delar.
- Arbetar enligt induktionsprincipen
- Användbar **endast för växelström**
- Huvuduppgiften är att **omvandla** (transformera) **spänningen** för en växelström
- Kan även användas för att **isolera** elektriska kretsar från varandra.



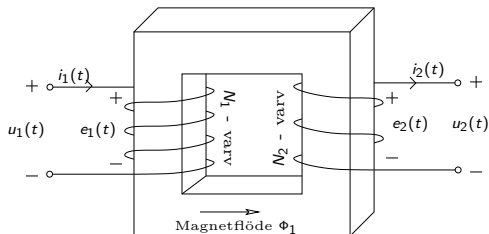
# Primär- och sekundärlindning

- Primärlindningen **tar emot** energi från källan
- Sekundärlindningen **avger** energi till förbrukaren
- Upplindning är lindningen med **högre** spänning
- Nedlindningen är lindningen med **lägre** spänning



# Transformatorns arbetsätt

- 1 Spänningen  $\mathbf{u}_1(\mathbf{t})$  läggs på transformatorns primärsida
- 2 Det pulserande flödet som uppstår alstrar den inducerade emk'n  $\mathbf{e}_1(\mathbf{t})$  och  $\mathbf{e}_2(\mathbf{t})$ . Riktningen på spänningarna är sådana att de försöker motverka strömförändringar.
- 3 Den inducerade spänningen  $\mathbf{e}_2(\mathbf{t})$  driver en ström  $\mathbf{i}_2(\mathbf{t})$
- 4 Förluster i transformatorn ger ett spenningsfall och utspänningen från transformatorn är  $\mathbf{u}_2(\mathbf{t})$



**Figur:** Transformatorn och dess referensriktningar. En spänning  $u_1(t)$  läggs på på primärsidan varpå en annan spänning  $u_2(t)$  uppstår på sekundärsidan.

# Omsättning vid tomgång

Storleken av de inducerade spänningarna är

$$e_n(t) = N_n \frac{d\Phi(t)}{dt} \quad \text{Uttryckt i magnetflöde}$$

$$e_n(t) = L_n \frac{di(t)}{dt} \quad \text{Uttryckt i ström och induktans}$$

Utgående från ett givet magnetflödet  $\Phi = \hat{\Phi} \sin(\omega t)$  får vi alltså emk'erna

$$e_1(t) = N_1 \frac{d\Phi(t)}{dt} = N_1 \frac{d}{dt} \hat{\Phi} \sin(\omega t) = \omega N_1 \hat{\Phi} \cos(\omega t)$$

$$e_2(t) = N_2 \frac{d\Phi(t)}{dt}$$

Med komplex notation för spänningarna och flödet så fås

$$\mathbf{E}_1 = \omega N_1 \Phi \cdot j$$

$$\mathbf{E}_2 = \omega N_2 \Phi \cdot j$$

# Omsättning forts.

Spänningarna  $E_1$  och  $E_2$  hänger alltså ihop enligt

## Spänningslagen

$$\frac{E_1}{N_1} = \frac{E_2}{N_2} \Rightarrow / \text{ ideal transformator} / \Rightarrow \frac{U_1}{U_2} = \frac{N_1}{N_2} \quad (1)$$

För en **ideal** transformator så är dessutom instoppad effekt lika med uttagen effekt, dvs  $\mathbf{S}_1 = \mathbf{S}_2$ . Alltså gäller att

$$E_1 \cdot I_1 = E_2 \cdot I_2$$

Vilket ger oss

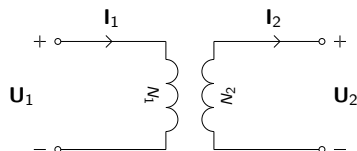
## Strömlagen

$$\frac{I_1}{I_2} = \frac{N_2}{N_1} \quad (2)$$



# Krettschema för ideal transformator

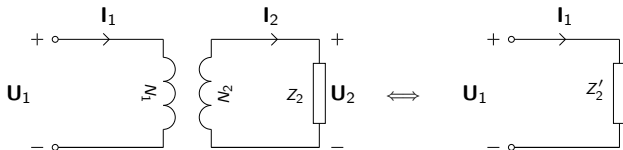
För en **ideal** transformator så är spänningarna  $e_n(t) = u_n(t)$  lika.  
Symbolen för en ideal transformator brukar ritas enligt



Figur: Symbol och referensriktningar för en ideal transformator.

# Övertransformering av impedans

Alla laster på sekundärsidan av en ideal transformator kan övertransformeras till en ekvivalent last på primärsidan och vice versa.



$$(1) \cdot (2)^{-1} : \frac{U_1}{U_2} \cdot \frac{I_2}{I_1} = \frac{N_1}{N_2} \cdot \frac{N_1}{N_2} = \frac{1}{Z_2} = \frac{U_2}{I_2}, Z'_2 = \frac{U_1}{I_1} \Rightarrow \frac{Z'_2}{Z_2} = \left( \frac{N_1}{N_2} \right)^2$$

I fallet ovan blir  $I_1$  lika stor för ett visst  $U_1$  under förutsättning att

$$Z'_2 = Z_2 \left( \frac{N_1}{N_2} \right)^2$$

# Icke ideal transformator: Förluster

I en verklig transformator så har vi förluster

- Magnetiseringsförluster, eller **Järnförluster**, dvs förluster som uppkommer p.g.a. ommagnetisering av järnet.
- Strömförluster, eller **Kopparförluster**, dvs  $R \cdot I^2$  förluster i lindningarna.

Magnetflödet bestäms av spänningen så järnförluster är tomgångsförluster medan kopparförlusterna bestäms av strömmen och därmed belastningsgraden.

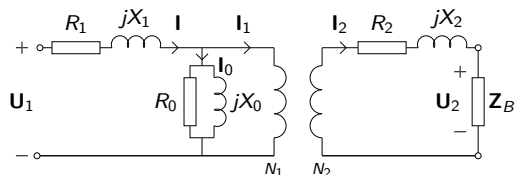
## Kopparförluster

$$P_{Cu} = P_{FB} = \text{Belastningsförluster}$$

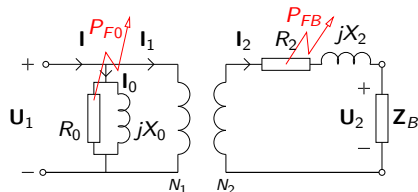
## Järnförluster

$$P_{Fe} = P_{F0} = \text{Tomgångsförluster}$$

# Icke ideal transformator: Modell och Krettschema



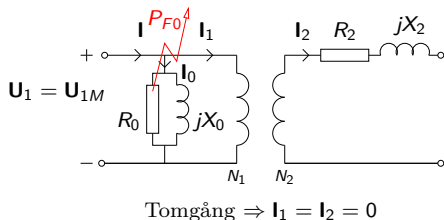
Figur: Modell av en icke ideal transformator som en ideal transformator med externa förluster. Tomgångsförlusterna uppstår i  $R_0$  och belastningsförlusterna i  $R_1$  resp.  $R_2$ .



Figur: Förenklad modell av en icke ideal transformator. Här har strömförlusterna från primärsidan övertransformerats till sekundärsidan. Felet hos modellen blir litet eftersom  $I_0$  är litet i förhållande till  $I_1$

## Tomgångsprov

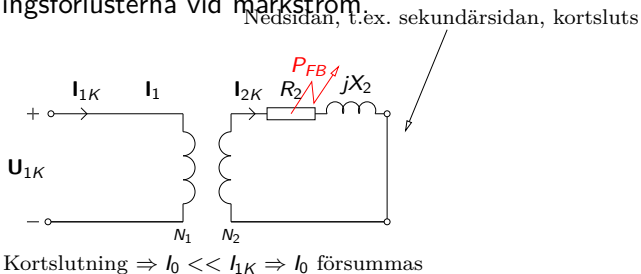
$P_{F0}$  kan mätas vid ett s.k. tomgångsprov. Detta görs genom att transformatorn drivs i tomgång vid märkspänning på primärsidan  $U_1 = U_{1M}$  och den tillförda effekten  $P_{F0}$  och tomgångsströmmen  $I = I_0$  mäts.



Vi har då att  $P_{F0} = U_0 I_0 \cos(\varphi_0)$

## Kortslutningsprov

$P_{FB}$  vid märkström,  $P_{FBM}$ , kan mätas vid ett s.k. kortslutningsprov. Nedsidan kortsluts medan uppsidan matas med märkström  $I_{1M}$ . Spänningen  $U_{1K}$  justeras alltså så att  $I_{1K} = I_{1M}$ . Försummas  $P_{F0}$  så är kortslutningsförlusterna samma som belastningsförlusterna vid märkström.

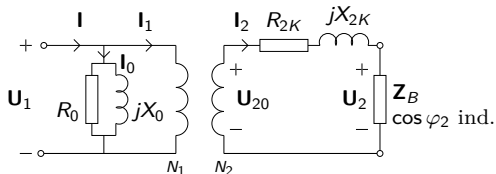


Vi har då att  $P_{FKM} = P_{FBM} = R_2 I_{2K}^2 = R_2 I_{2M}^2$

$$Z_{2K} = \frac{U_{2K}}{I_{2K}}, Z_{2K} = \sqrt{R_{2K}^2 + X_{2K}^2} \Rightarrow X_{2K} = \sqrt{Z_{2K}^2 - R_{2K}^2}$$

# Icke ideal transformator: Spänningsfall

Utspänningen från en transformator  $U_2$  är lägre än den ideala utspänningen  $U_{20}$  och skillnaden kallas transformatorns spänningsfall.

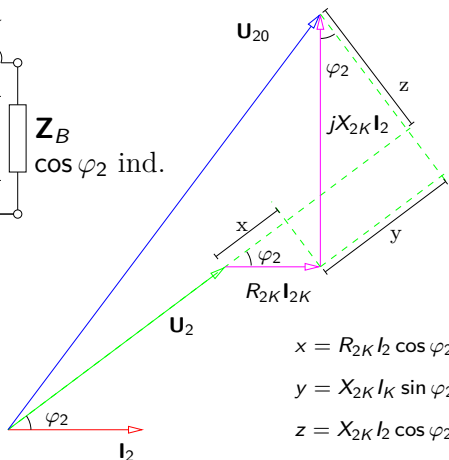
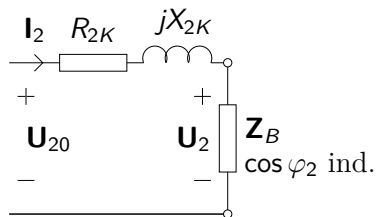


För en given induktiv last  $\mathbf{Z}_B$  med  $\cos \varphi_2$  så kan vi skriva

$$U_{20} = \sqrt{(U_2 + R_{2K} I_2 \cos \varphi_2 + X_{2K} I_2 \sin \varphi_2)^2 + (X_{2K} I_2 \cos \varphi_2 - R_{2K} I_2 \sin \varphi_2)^2}$$

eller förenklat  $U_{20} \approx (U_2 + R_{2K} I_2 \cos \varphi_2 + X_{2K} I_2 \sin \varphi_2)$

# Nicht idealer Transformator: Spannungsfall



$$x = R_{2K} I_2 \cos \varphi_2$$

$$y = X_{2K} I_2 \sin \varphi_2$$

$$z = X_{2K} I_2 \cos \varphi_2 - R_{2K} I_2 \sin \varphi_2$$

## Spannungsfallsformeln

$$U_{20} \approx (U_2 + R_{2K} I_2 \cos \varphi_2 + X_{2K} I_2 \sin \varphi_2)$$



# Belastningsgrad, förluster och verkningsgrad

- Märkeffekten för en transformator är alltid den **skenbara** effekten

$$S_M = U_{1M} \cdot I_{1M} = U_{2M} \cdot I_{2M}$$

Anledningen är att transformatorns lindningar tål en viss ström innan isoleringen smälter.

- En märkbelastad transformator **avger** märkeffekten i lasten på sekundärsidan med en viss effektfaktor  $\cos \varphi_2$

$$P_{2M}(\varphi_2) = U_2 \cdot I_{2M} \cos \varphi_2$$

- Belastningsgraden  $x$  definieras som förhållandet mellan lastström och märkström eller avgiven effekt och märkeffekt enligt

$$x = \frac{I_2}{I_{2M}} = \frac{P_2}{P_{2M}}$$

# Belastningsgrad, förluster och verkningsgrad

- Verkningsgraden beror på instoppad effekt och avgiven effekt enligt

$$\eta = \frac{P_2}{P_1} = \frac{P_2}{P_2 + P_{F0} + P_{FB}}$$

- Tomgångsförlusterna  $P_{F0}$  är konstanta (givet konstant spänning)
- Belastningsförlusterna  $P_{FB}$  ökar med strömmen i kvadrat

$$P_{FB} = x^2 \cdot P_{FKM}$$

- Verkningsgraden blir då uttryckt i belastningsgrad

$$\eta = \frac{P_2}{P_1} = \frac{x \cdot P_{2M}}{x \cdot P_{2M} + P_{F0} + x^2 \cdot P_{FKM}}$$

# Beräkningsexempel Enfastransformator

## Enfastransformator

$$10k/230 \text{ V}$$

$$50 \text{ kVA}$$

$$R_1 = 19 \Omega$$

$$X_1 = 55 \Omega$$

$$R_2 = 1,5 \text{ m}\Omega$$

$$X_2 = 4,0 \text{ m}\Omega$$

Beräkna  $U_2$  om transformatorn märkbelastas med  $\cos \varphi = 0,8$  ind.

# Beräkningsexempel Enfastransformator

## Enfastransformator

$$\begin{array}{ll} 10\text{k}/230\text{ V} & 50\text{ kVA} \\ R_1 = 19\ \Omega & X_1 = 55\ \Omega \\ R_2 = 1,5\ \text{m}\Omega & X_2 = 4,0\ \text{m}\Omega \end{array}$$

Beräkna  $U_2$  om transformatorn märkbelastas med  $\cos \varphi = 0,8$  ind.

### Lösning:

$$U_{20} \approx U_2 + R_{2K} \cdot I_2 \cos \varphi_2 + X_{2K} \cdot I_2 \sin \varphi_2 \quad (*)$$

$$U_{20} = U_{2M} = 230\text{ V, om } U_1 = U_{1M} = 10\text{ kV}$$

$$\begin{aligned} S_M = U_{2M} \cdot I_{2M} &\implies 50 \cdot 10^3 = 230 \cdot I_{2M} \implies \\ &\implies I_{2M} = 217,4\text{ A.} \end{aligned}$$

$$\text{Märkbelastning} \implies I_2 = I_{2M} = 217,4\text{ A}$$

**Lösning, forts.:**

$$\begin{aligned}R_{2K} &= R_2 + \frac{R_1}{(U_{1M}/U_{2M})^2} = \\ &= 0,0015 + \frac{19}{(10^4/230)^2} \approx 0,011551 \Omega\end{aligned}$$

$$\begin{aligned}X_{2K} &= X_2 + \frac{X_1}{(U_{1M}/U_{2M})^2} = \\ &= 0,004 + \frac{55}{(10^4/230)^2} \approx 0,033095 \Omega\end{aligned}$$

$$\begin{aligned} (*) \implies 230 &\approx U_2 + 0, + 1155 \cdot 217,4 \cdot 0,8 + 0,033095 \cdot 217,4 \cdot 0,6 \\ &\implies U_2 \approx 230 - 2,0 - 4,3 = 223,7 \text{ V} \end{aligned}$$